

Keywords

Polyacrylamide
Static adsorption
Thermodynamic
Contact angle
Oil recovery

Study on adsorption behavior of dilute polymeric systems based on sulfonated polyacrylamide for improving oil recovery application

Ehsan Alvand¹, Jamal Aalaie^{1*}, Mahmood Hemmati¹, Vali Ahmad Sajjadian²

1- Chemicals, Polymers & Petrochemicals Technology Development Division, Research Institute of Petroleum Industry (RIP), Tehran, Iran

2- Arvandan Oil & Gas company, Tehran, Iran

Abstract

The adsorption of polymeric systems onto reservoir rock through altering the wettability of rock surface improves oil recovery and reduces the unwanted water production. In this study, the adsorption behavior of dilute polymeric systems based on sulfonated polyacrylamide on the glass particles surfaces (representative of sandstone reservoirs) was investigated and the effect of this phenomenon on changing their surface properties was examined. Results show that crosslinked polymeric samples have lower adsorption on glassy surface comparing with uncrosslinked sulfonated polyacrylamide solution. Furthermore, the contact angle tests results showed that crosslinked samples change the surface property of glass particle less than sulfonated polyacrylamide solution. In addition the Langmuir isotherm model fitted the isotherm data better than the Freundlich model for these dilute polymeric systems. Furthermore, study of the thermodynamic of adsorption showed that their adsorption behavior on glassy surfaces is a spontaneous and exothermic process.

*To whom correspondence should be addressed:
alaiej@ripi.ir

پژوهش‌های کاربردی مهندسی سیمی-پلیمر

مطالعه رفتار جذب سامانه‌های رقیق پلیمری بر پایه پلی‌اکریل آمید سولفونه در بهبود بازیافت نفت

احسان الوند^۱، جمال اعلایی^۱، محمود همتی^۱، ولی احمد سجادیان^۲

۱- تهران، پژوهشگاه صنعت نفت، پژوهشکده توسعه فناوری‌های شیمیایی، پلیمری و پتروشیمیایی

۲- تهران، شرکت نفت و گاز ارondonan

فصلنامه علمی - پژوهشی

سال اول، شماره ۱، شماره پیاپی ۱،

پاییز ۱۳۹۶، صفحه ۵-۱۶

چکیده

جذب سامانه‌های پلیمری بر روی سنگ مخازن نفتی با تغییر ترشوندگی سطح، سبب بهبود بازیافت نفت و کاهش تولید آب ناخواسته می‌شود. در پژوهش حاضر، رفتار جذب سامانه‌های رقیق پلیمری بر پایه پلی‌اکریل آمید سولفونه بر روی سطح ذرات شیشه (به عنوان نمادی از سطح مخازن ماسه سنگی) و همچنین تأثیر این پدیده بر تغییر خواص سطحی این ذرات بررسی شد. نتایج آزمون‌های انجام شده نشان داد که سامانه‌های شبکه‌ای شده پلی‌اکریل آمید سولفونه رقیق، نسبت به محلول پلی‌اکریل آمید سولفونه، جذب کمتری بر روی سطح شیشه دارند. همچنین آزمون‌های زاویه تماس نیز نشان داد که تأثیر سامانه‌های شبکه‌ای شده بر تغییر خواص سطحی ذرات شیشه کمتر از محلول پلی‌اکریل آمید سولفونه است. علاوه بر این، مشخص شد که مدل هم‌دمای جذب لانگمویر (Langmuir Isotherm) بهتر از مدل فرنندلیش (Freundlich Isotherm) با داده‌های آزمایشگاهی جذب سامانه‌های تهیه شده تطابق دارد. همچنین بررسی ترمودینامیک جذب نشان داد که جذب این سامانه‌ها بر روی سطح شیشه فرایندی خودبه خودی و گرمایزا است.

واژه‌های کلیدی

پلی‌اکریل آمید
جذب استاتیک
ترمودینامیک
زاویه تماس
بازیافت نفت

* مسئول مکاتبات:

aalaiej@ripi.ir

مقدمه

ساختار سنگ و غلظت نمک محلول در آب بر رفتار جذب و میزان ترشوندگی سطح تأثیر می‌گذارند [۶]. همان‌طور که اشاره شد مطالعات گستردگی در مورد رفتار جذب محلول‌های پلیمری صورت گرفته است اما در خصوص جذب استاتیک سامانه‌های رقیق پلی‌اکریل آمید سولفونه بر روی سطح سنگ مخازن، مطالعه‌ای صورت نگرفته است. در مطالعه پیشین [۷] رفتار رئولوژیکی و پایداری این نوع سامانه‌ها در ازدیاد برداشت نفت گزارش شد. مشاهده شد که شبکه‌ای کردن سامانه‌های رقیق پلی‌اکریل آمید سولفونه منجر به ایجاد ژلهای کلوئیدی می‌شود (برخلاف سامانه‌های غلیظ پلیمر که ژل توده‌ای ایجاد می‌شود). برای این سامانه‌ها با افزایش غلظت کروم، اندازه ذرات کلوئیدی و گرانروی نمونه‌ها کاهش یافت. این نوع سامانه‌ها استحکام کمی دارند ولی می‌توانند در مخازن نفتی به صورت شبکه‌ای شده باقی بمانند. سامانه‌های رقیق پلیمری قادر به جاری شدن در محیط متخلخل و تغییر خواص سطحی آن هستند. به همین دلیل می‌توانند به عنوان عامل اصلاح تراوایی و جابه‌جاکننده نفت کاربرد داشته باشند.

در پژوهش حاضر، به رفتار جذب سامانه‌های یاد شده بر روی سطح ذرات شیشه (به عنوان نمادی از سطح مخازن ماسه سنگی) پرداخته شده است. در همین راستا، ابتدا آزمون‌های جذب استاتیک انجام و اثر غلظت سامانه پلیمری بر روی رفتار جذب بررسی شد. همچنین تأثیر سامانه‌های پلیمری تهیه شده بر ترشوندگی سطح شیشه با اندازه گیری تغییرات زاویه تماس مطالعه شد. در ادامه، میزان تطابق نتایج جذب با پیش‌بینی دو مدل همدماج جذب لانگمویر و فرنلیش بررسی شد. علاوه بر این، متغیرهای ترمودینامیکی فرایند جذب این سامانه‌ها مورد ارزیابی قرار گرفت.

مطالعات آزمایشگاهی مواد مورد استفاده

در این پژوهش از کوپلیمر اکریل آمید سولفونه (SPA) با

در فرایندهای ازدیاد برداشت نفت، نسبت تحرک (آب یا گاز) به صورت تحرک سیال جابه‌جاکننده (آب یا گاز) به تحرک سیال جابه‌جاشونده (نفت) تعریف می‌شود. بنابر تعریف، هر چه مقدار M کمتر باشد، نفت بیشتری بازیافت می‌شود. به کارگیری سامانه‌های پلیمری به همراه آب تزریقی به مخازن نفتی (فرایند سیلان زنی پلیمری (polymer flooding)), با افزایش گرانروی آب یا کاهش تراوایی محیط متخلخل نسبت به آب، می‌تواند موجب کاهش نسبت تحرک و در نتیجه افزایش بازیافت نفت شود. جذب پلیمرهای آب دوست بر روی سطح سنگ مخازن نفتی سبب تغییر تراوایی محیط متخلخل و در نتیجه کاهش تراوایی نسبی آن می‌شود [۱].

مطالعات گستردگی بر روی سنگ مخازن صورت گرفته است [۲ و ۳] که در ادامه به برخی از آن‌ها اشاره می‌شود. مطالعه انجام شده در مورد رفتار جذب سامانه پلیمری پلی(N و N دای متیل اکریل آمید-کو-سدیم-۲-اکریل آمیدو ۲-متیل، پروپان سولفونات) (-acrylamido-2-methylpropanesulfonate-2 amide-co-Na) نشان داد که جذب این سامانه بر روی بتونیت بیشتر از سنگ‌های کربناته و ماسه‌ای است. همچنین مشخص شد که جذب سامانه یاد شده در مقایسه با پلیمرهای غیریونی و پلی‌اکریل آمید آب کافت شده مورد استفاده در ازدیاد برداشت، قابل توجه نیست [۴]. الهاشمی و همکارانش جذب پلی‌اکریل آمید غیریونی و کاتیونی بر روی شیشه را بررسی کردند. نتایج آن‌ها نشان داد که جذب پلی‌اکریل آمید کاتیونی بر روی شیشه به علت جاذبه الکترواستاتیک بین پلیمر و شیشه سریع تر از پلیمر غیریونی اتفاق می‌افتد [۵]. چیبا و همکارانش رفتار جذب پلیمرهای محلول در آب حاوی گروه‌هایی با بارهای مختلف بر روی سطح جامد سیلیس را بررسی کردند. نتایج آن‌ها نشان داد که میزان جذب با برهم‌کنش‌های الکترواستاتیکی بین مولکول‌های پلیمر و سطح جامد ارتباط دارد. همچنین مشخص شد که

ابعاد ۲۹۷ میکرون، مش ۵۰) و غلظت ۵ g/L به مدت چهار ساعت در دمای مورد نظر قرار داده شد تا فرایند جذب صورت پذیرد. سپس با استفاده از سانتریفیوژ (مدل k ۳-۳۰ Sigma آلمان)، ذرات جامد از محلول جدا شد و با استفاده از دستگاه طیف‌سنجی جذبی مرئی و فرابنفش (مدل V-۶۷۰ ژاپن) مقدار امواج جذب شده برای هر نمونه تعیین شد. منحنی کالیبراسیون با استفاده از مقدادر جذب مجموعه‌ای از محلول‌های پلیمری با غلظت‌های مختلف رسم شد (شکل ۲). با داشتن مقدار جذب امواج برای هر نمونه و با کمک منحنی کالیبراسیون، مقدار سامانه پلیمری جذب نشده اندازه‌گیری شد.

آزمون زاویه تماس

اندازه‌گیری زاویه تماس مایع-جامد به عنوان یکی از روش‌های رایج بررسی تغییر ترشوندگی سطح جامد در تماس با مایع در این مطالعه مورد استفاده قرار گرفت. برای این منظور از نمونه‌های شیشه (به عنوان سطح مشابه با مخازن ماسه سنگی) در ابعاد مشخص (دیسک با ضخامت ۲ mm و قطر ۱/۵ cm) استفاده شد. با توجه به تجربیات قبلی، نمونه‌ها ابتدا به مدت ۶ روز در آب شور (TDS=۷۷۰۰ ppm) و سپس به مدت چهار روز در نفت خام (API^o=۳۴) و در پایان به مدت یک روز در تماس با محلول پلیمری مورد نظر

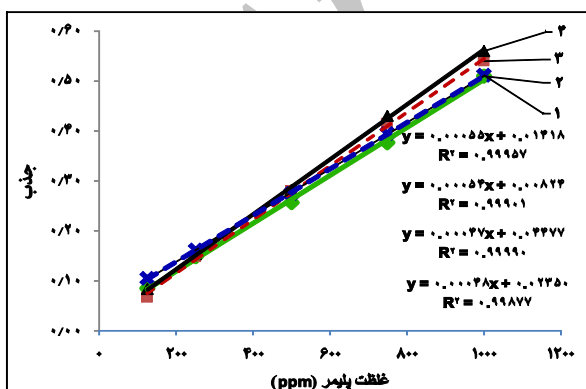
وزن مولکولی 8×10^6 دالتون، با درجه سولفونه ۶۲۵ مولی (شرکت SNF فرانسه) استفاده شده است (شکل ۱). این کوپلیمر به دلیل داشتن گروه‌های سولفونه، در حضور کاتیون‌های دو ظرفیتی (کلسیم و منیزیم) مقاومت دمایی بالاتری نسبت به پلی‌اکریل آمید آب کافت شده دارد. از استات کروم (III) (شرکت Carlo Erba ایتالیا) برای شبکه‌ای کردن برخی نمونه‌ها استفاده شد.

روش تهیه سامانه‌های پلیمری

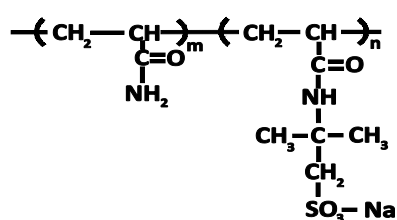
سامانه‌های رقیق پلی‌اکریل آمید سولفونه بر اساس مراحل زیر تهیه شد. ابتدا با اضافه کردن تدریجی ۵۰۰ ppm پلی‌اکریل آمید سولفونه به آب و هم زدن با هم زن مکانیکی، محلول پلیمری شفاف و یکنواخت تهیه شد. سپس محلول عامل اتصال دهنده عرضی استات کروم (یا غلظت‌های مورد نظر) به محلول پلیمری اضافه شد. مخلوط تهیه شده (محلول ژلات) با استفاده از هم زن مغناطیسی در دمای ۴۰°C به مدت ۲۴ ساعت هم زده شد و پس از آن به مدت یک هفته در آون با دمای یاد شده قرار داده شد.

آزمون‌های جذب

به منظور بررسی رفتار جذب سامانه‌های پلیمری از روش طیف‌سنجی جذبی مرئی و فرابنفش (spectrophotometer UV-VIS) استفاده شد. در این روش با رسم منحنی‌های کالیبراسیون و مقایسه مقدادر جذب امواج، قبل و بعد از فرایند، مقدار تقریبی جذب سامانه‌های مختلف پلیمری تعیین می‌شود [۸]. برای این منظور، ابتدا سامانه‌های پلیمری در تماس با ذرات شیشه (با



شکل ۲- منحنی کالیبراسیون برای سامانه‌های کلوئیدی پلی‌اکریل آمید سولفونه / استات کروم با غلظت اجزای (ppm) (۱) ۵۰۰-۵۰۰، (۲) ۱۲/۵-۵۰۰، (۳) ۲۵-۵۰۰، (۴) ۵۰۰-۵۰۰



شکل ۱- ساختار شیمیایی پلی‌اکریل آمید سولفونه

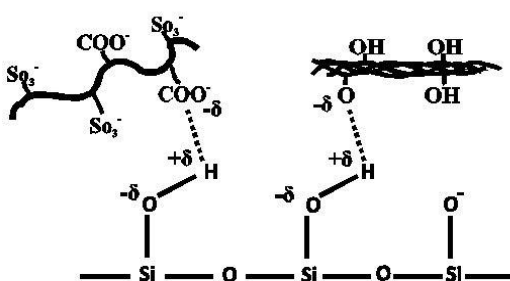
جدول ۱- میزان جذب سامانه‌های روی شیشه در غلظت‌های مختلف پلیمر (نسبت پلی‌اکریل آمید سولفونه-کروم برای هر سامانه ثابت است و شوری ۷۷۰۰ ppm و دما ۹۰ °C)

میزان جذب (mg/g) بر روی شیشه	غلظت پلیمر (ppm)	سامانه پلیمری SPA-Cr ³⁺	ردیف	میزان جذب (mg/g) بر روی شیشه	غلظت پلیمر (ppm)	سامانه پلیمری SPA-Cr ³⁺	ردیف
۴	۱۲۵	۵۰۰ - ۲۵	۳	۴	۱۲۵	پلیمر SPA خالص	۱
۶	۲۵۰			۹	۲۵۰		
۱۱	۵۰۰			۱۵	۵۰۰		
۱۵	۷۵۰			۱۸	۷۵۰		
۱۷	۱۰۰۰			۲۱	۱۰۰۰		
۳	۱۲۵			۴	۱۲۵		
۴	۲۵۰			۸	۲۵۰		
۹	۵۰۰		۴	۱۳	۵۰۰	۵۰۰ - ۱۲/۵	۲
۱۱	۷۵۰			۱۷	۷۵۰		
۱۴	۱۰۰۰			۲۰	۱۰۰۰		

برای همه سامانه‌ها مقدار جذب با افزایش غلظت سامانه افزایش می‌یابد. هر چه مقدار غلظت سامانه در محلول بیشتر باشد احتمال جذب سامانه بر روی سطح بیشتر می‌شود. در غلظت‌های بالا، اختلاف غلظت سامانه پلیمری در محلول و بر روی سطح جامد بیشتر از غلظت‌های کم است. در نتیجه، اختلاف غلظت سبب افزایش تمایل مولکول به جذب بر روی سطح جامد شیشه می‌شود.

هم‌دهاهای جذب

تطبیق داده‌های به دست آمده از نتایج آزمایشگاهی جذب بر روی مدل‌های هم‌دهای جذب، می‌تواند به پیش‌بینی بهتر پدیده‌هایی مانند تعداد لایه‌های جذب و کیفیت جذب کمک کند. در بین مدل‌های هم‌دها، هم‌دهای لانگمویر و فرنندلیش به طور گسترده‌تری مورد استفاده



شکل ۳- طرح واره جذب پلیمر پلی‌اکریل آمید سولفونه بر روی شیشه

قرار داده شد. سپس نمونه‌ها در آون با ۴۰ °C خشک شد و زاویه تماس قطره آب شور با سطح نمونه‌های شیشه در دمای ۲۵ °C به کمک دستگاه زاویه تماس (مدل VIT ۶۰۰۰ ایران)، که مجهر به دوربین مدل VCC-HD2100P (ساخت شرکت SANYO ژاپن) بود، اندازه گرفته شد.

نتایج و بحث

در جدول ۱ تغییرات میزان جذب محلول‌های رقیق پلی‌اکریل آمید سولفونه و سامانه‌های شبکه‌ای شده بر روی سطح ذرات شیشه با غلظت پلیمر آورده شده است. همان طور که دیده می‌شود جذب سامانه‌های شبکه‌ای شده کمتر از محلول پلی‌اکریل آمید سولفونه است. مطالعات نشان می‌دهد [۹] که علت جذب سامانه‌های پلیمری حاوی پلی‌اکریل آمید سولفونه بر روی سطح شیشه، برقراری پیوند هیدروژنی بین گروه‌های هیدروکسیل (OH) شیشه است. طرح واره جذب پلیمر بر روی سطح شیشه در شکل ۳ نشان داده شده است. با توجه به اینکه کروم با گروه‌های کربوکسیلات و سولفونات پلیمر پلی‌اکریل آمید سولفونه واکنش می‌دهد و گروه‌های حاوی اکسیژن در دسترس پلیمر را برای جذب بر روی سطح شیشه کاهش می‌دهد در نتیجه جذب سامانه‌های شبکه‌ای شده کمتر از محلول پلی‌اکریل آمید سولفونه است و با افزایش غلظت کروم مقدار جذب کاهش می‌یابد.

ثابت‌های فرننلیش هستند.

مقدار n بین ۱ تا ۱۰ متغیر است. مقادیر بیشتر n شدت جذب بالا را نشان می‌دهد. K_f نشان دهنده ظرفیت جذب است. مقدار بالای K_f نشان دهنده ظرفیت بالای جذب است. مقدار $n < 1$ همراه با مقدار بالای K_f ، حاکی از میزان بالای جذب است [۱۱].

عمولاً کیفیت جذب در این نظریه با بررسی مقادیر $1/n$ مطالعه می‌شود. برای $< 1/n < 0.5$ ، جذب مطلوب، برای $1/n > 1$ ، جذب آسان و $1/n < 0.5$ جذب دشوار پیش‌بینی می‌شود [۱۲].

شکل ۴ تطابق داده‌های تجربی جذب استاتیک سامانه‌های رقیق پلیمری بر پایه پلی‌اکریل آمید سولفونه بر روی سطح ذرات شیشه، با مدل‌های هم‌دمای جذب لانگمویر و فرننلیش را نشان می‌دهد. از طریق انطباق داده‌های تجربی با معادلات لانگمویر و فرننلیش به روش برآش منحنی (curve fitting)، ضرایب معادلات به دست آمد. ضرایب هم‌دمای جذب در جدول ۲ آورده شده است. از شکل ۴ و مقادیر ضریب همبستگی R^2 (جدول ۲) استنباط می‌شود که برای این سامانه‌های پلیمری مدل لانگمویر تطابق بهتری بر نتایج تجربی جذب دارد و از جذب تکلایه تعیت می‌کند. همچنین از مقادیر ضریب R_L هم‌دمای لانگمویر برای جذب بر روی شیشه مشخص است که برای این سامانه‌ها $R_L < 1$ است که نشان دهنده مقدار جذب مطلوب و ایده‌آل است. برای محلول پلیمری پلی‌اکریل آمید سولفونه مقدار ضریب R_L کمترین مقدار است که با مقدار جذب بالاتر این سامانه نسبت به سامانه‌های شبکه‌ای شده هم خوانی دارد. همچنین برای این سامانه‌ها بین $< 0.5 < 1/n < 1$ است. بنابراین جذب این سامانه‌ها بر روی شیشه را می‌توان در محدوده جذب آسان تقسیم‌بندی کرد. همان‌طور که دیده می‌شود با افزایش غلظت کروم، مقادیر ضرایب R_L و $1/n$ افزایش می‌یابد و جذب از حالت مطلوب و آسان دور می‌شود. همان‌طور که پیش از این توضیح داده شد واکنش کروم با پلیمر سبب کاهش تعداد گروه‌های حاوی اکسیژن پلیمر جهت جذب بر روی سطح شیشه می‌شود. بنابراین تمایل به

قرار می‌گیرند که در این پژوهش نیز مورد توجه قرار گرفت.

اولین مدل هم‌دمای جذب که بر مبنای جذب مولکول‌های گاز بر سطح جامد توسعه یافته است، مدل هم‌دمای جذب لانگمویر است. در مدل لانگمویر فرض برآن است که نیروهای بین اتم‌های سطح (که از لحظه شیمیابی اشبع نشده‌اند) و پلیمر به اندازه‌ای ضعیف است که ضخامت لایه جذب شده از اندازه یک مولکول فراتر نرفته و آن را می‌توان جذب تک‌لایه دانست [۱۰].

$$q_e = \frac{q_m k C_e}{1 + k C_e} \quad (1)$$

در این رابطه q_e مقدار جذب (mg/g)، q_m (mg/g)، ظرفیت جذب تک لایه بیشینه بر روی سطح جامد (C_e)، غلظت تعادلی در محلول (L/mg) و K ثابت لانگمویر (L/mg) است. مقدار K زیاد نشانه تمایل جذب شونده به جاذب است. مولفه جداقتنه (separation factor) یا مولفه تعادل نشانه‌ای از سازگاری جذب است، ثابت بدون بعد بوده و با معادله زیر بیان می‌شود.

$$R_L = \frac{1}{1 + K_L C_0} \quad (2)$$

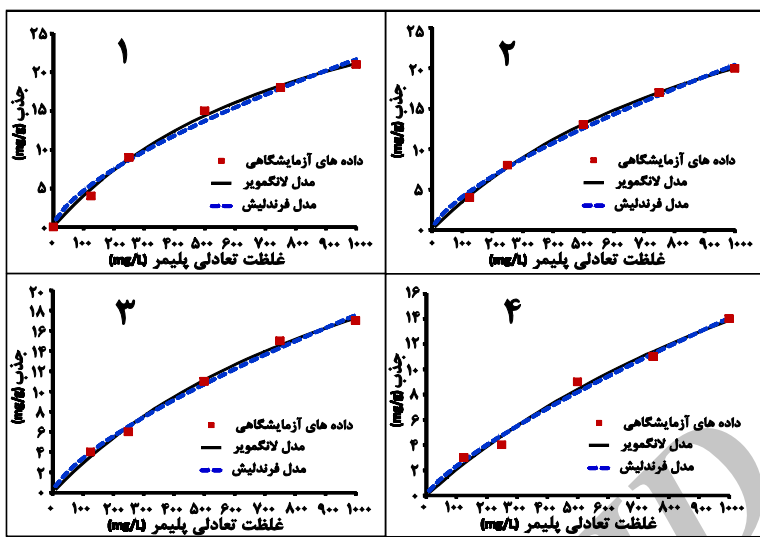
چهار امکان برای R_L وجود دارد.

- ۱) اگر $1 < R_L < 0$ مقدار جذب، مطلوب و ایده‌آل است.
- ۲) اگر $R_L > 1$ مقدار جذب نامطلوب و ناچیز است.
- ۳) اگر $R_L = 1$ نشان دهنده خطی بودن جذب است.
- ۴) اگر $R_L = 0$ جذب برگشت ناپذیر است

مدل هم‌دمای جذب فرننلیش معادله‌ای تجربی است. این مدل در ظرفیت‌های جذب بالا عملکرد خوبی نداشته و برای ظرفیت‌های متوسط و کم متناسب است. در این مدل مقدار پلیمر جذب شده به ازای واحد جرم ماده جاذب (q_e) از رابطه زیر به دست می‌آید.

$$q_e = K_f C_e^{1/n} \quad (3)$$

در این رابطه q_e مقدار جذب (mg/g) و C_e غلظت تعادلی در محلول (mg/L) است. همچنین (K_f) (mg^{1-1/n}.L^{1/n}/g) و



شکل ۴- منحنی های هم دماهای جذب سامانه های رقیق پلی اکریل آمید سولفونه-کروم بر روی سطح ذرات شیشه در دمای 90°C :
 (۱) $0.0-500$ ، (۲) $0.0-500$ ، (۳) $0.0-500$ و (۴) $0.0-500$ (غلظت اجزاء: ppm)

است. این موضوع می تواند به علت گرمایش بودن واکنش جذب باشد که در ادامه، بیشتر مورد بررسی قرار گرفته است.

بررسی و مطالعه ترمودینامیک جذب، اطلاعات مهمی از نوع و سازوکار جذب فراهم می کند. یکی از متغیرهای اساسی در ترمودینامیک، انرژی آزاد گیبس (ΔG) است. ΔG معیار مهم ترمودینامیکی برای مشخص کردن خودبه خودی بودن فرایندها است. همان طور که در رابطه

جذب با حضور کروم، کاهش یافته و جذب از حالت مطلوب و آسان، دور می شود.

ترمودینامیک جذب

در جدول ۳ تاثیر دما بر میزان جذب پلیمر پلی اکریل آمید سولفونه و سامانه های رقیق شبکه ای شده آورده شده است. همان طور که دیده می شود برای همه سامانه ها با افزایش دما، مقدار جذب کاهش یافته

جدول ۲- ضریب های مدل های لانگمویر و فرندیلیش برای جذب سامانه های رقیق پلی اکریل آمید سولفونه-کروم بر روی سطح ذرات شیشه در دمای 90°C

ردیف	سامانه پلیمری SPA-Cr ³⁺	ضریب های مدل لانگمویر	ضریب های مدل فرندیلیش
۱	$500-0$	$Q_m=39/96 \text{ (mg/g)}$ $K=0.0112 \text{ (L/mg)}$ $R^2=0.996$ $R_L=0.64$	$K=0.225 \text{ (mg}^{1-n}.L^n/\text{g)}$ $n=1/513$ $R^2=0.987$ $1/n=0.66$
۲	$500-12/5$	$Q_m=42/59 \text{ (mg/g)}$ $K=0.0089 \text{ (L/mg)}$ $R^2=0.999$ $R_L=0.69$	$K=0.164 \text{ (mg}^{1-n}.L^n/\text{g)}$ $n=1/422$ $R^2=0.996$ $1/n=0.70$
۳	$500-25$	$Q_m=38/59 \text{ (mg/g)}$ $K=0.0081 \text{ (L/mg)}$ $R^2=0.995$ $R_L=0.71$	$K=0.129 \text{ (mg}^{1-n}.L^n/\text{g)}$ $n=1/407$ $R^2=0.991$ $1/n=0.71$
۴	$500-50$	$Q_m=39/74 \text{ (mg/g)}$ $K=0.0054 \text{ (L/mg)}$ $R^2=0.991$ $R_L=0.79$	$K=0.064 \text{ (mg}^{1-n}.L^n/\text{g)}$ $n=1/282$ $R^2=0.990$ $1/n=0.78$

جدول ۳- میزان جذب سامانه های رقیق پلیمری بر روی دانه های شیشه در دماهای مختلف (شوری ۷۷۰۰ ppm)

میزان جذب (mg/g) بر روی شیشه	دما (K)	سامانه پلیمری SPA-Cr ³⁺	ردیف	میزان جذب (mg/g) بر روی شیشه	دما (K)	سامانه پلیمری SPA-Cr ³⁺	ردیف
۱۱	۳۶۳	۵۰۰-۲۵	۳	۱۵	۳۶۳	۵۰۰-۰	۱
۱۲	۳۴۳			۱۷	۳۴۳		
۱۳	۳۲۳			۱۸	۳۲۳		
۱۴	۳۰۳			۲۱	۳۰۳		
۹	۳۶۳			۱۳	۳۶۳		
۹/۵	۳۴۳	۵۰۰-۵۰	۴	۱۴	۳۴۳	۵۰۰-۱۲/۵	۲
۱۰	۳۲۳			۱۵	۳۲۳		
۱۱	۳۰۳			۱۷	۳۰۳		

$$K = \frac{q_e}{C_e} = \frac{(C_i - C_e)V}{C_e m} \quad (6)$$

V حجم محلول، C_e غلظت اولیه پلیمر در محلول و m غلظت تعادلی در محلول (mg/L) و m جرم جاذب است. با توجه به اینکه واحد ΔG ، J/mol و واحد RT نیز J/mol است؛ ثابت تعادل (K) می‌بایست بدون بعد باشد. ولی با توجه به معادله ۵ و بسیاری از منابع دیگر، ثابت تعادل به دست آمده بعددار بوده و استفاده از آن برای محاسبه متغیرهای ترمودینامیکی مانند انرژی آزاد گیس، آنتروپی و آنتالپی، تحلیل نتایج را تحت تأثیر قرار می‌دهد [۱۶]. به طور کلی برهم‌کنش تعادلی بین ماده جذب شده و ماده جاذب درون محلول را می‌توان به شکل زیر نوشت:



در این برهم‌کنش، C_e غلظت تعادلی پلیمر در محلول (g/L)، S غلظت جامد (g/L) و C_s غلظت پلیمر جذب شده بر روی جامد (g/L) است. ثابت تعادلی این برهم‌کنش، به شکل معادله زیر نوشته می‌شود:

$$K_{eq} = \frac{[C_s]}{[C_e][S]} \quad (8)$$

با توجه به اینکه مقادیر بدست آمده از این معادله بی‌بعد نیستند، بر اساس برخی منابع علمی [۱۶]، با ضرب کردن مقادیر K_{eq} در متغیر w مربوط به آب

زیر دیده می‌شود مقدار انرژی آزاد گیس با آنتالپی (ΔH) و آنتروپی (ΔS) ارتباط دارد.

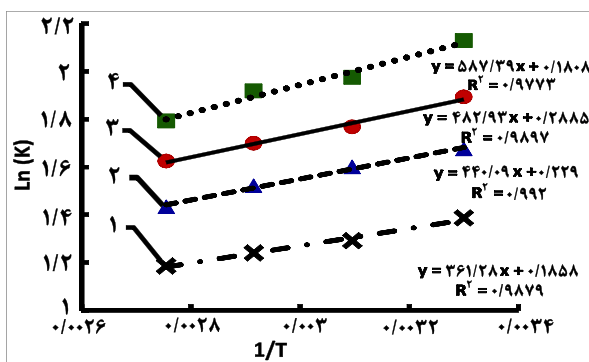
$$\Delta G = -RT\ln K = \Delta H - T\Delta S \quad (4)$$

در معادله بالا K ثابت تعادلی (بدون بعد)، R ثابت جهانی گازها (J/mol.K) و T دما (K) است. همان‌طور که از معادله بالا مشخص است با داشتن مقدار ثابت تعادلی (K) و رسم منحنی‌های تغییرات $\ln K$ بر حسب $1/T$ ، می‌توان به مقادیر ΔH و ΔS دست یافت [۸]. روش‌های مختلفی برای محاسبه ثابت تعادلی وجود دارد. برخی پژوهشگران ثابت تعادلی K را بر اساس ثابت هم دما لانگمویر که ثابتی بعددار است، محاسبه کرده‌اند [۱۳-۱۵]. در برخی دیگر از مطالعات، ثابت تعادلی K با استفاده از معادله زیر محاسبه شده است [۸ و ۱۶].

$$K = \frac{C_i - C_e}{C_e} \quad (5)$$

غلظت اولیه پلیمر در محلول و C_e غلظت تعادلی پلیمر در محلول بعد از جذب است. در این معادله، جرم جاذب نقشی ایفا نمی‌کند؛ بنابراین در جرم‌های مختلف جاذب، مقادیر ثابت تعادلی یکسان به دست می‌آید که نادرست است.

در تعدادی دیگر از مطالعات، مقدار ثابت تعادلی K با استفاده از معادله زیر محاسبه شده است [۱۷ و ۱۸].



شکل ۵ - منحنی های ثابت تعادل-دما برای جذب سامانه های شبکه ای شده پلی اکریل آمید سولفونه- کروم بر روی ذرات شیشه با غلظت های اجزای (ppm) (۱) ۵۰-۵۰۰ (۲) ۲۵-۵۰۰ (۳) ۵۰۰-۵۰۰ (۴) ۱۲۵

قرار می دهد.

همان طور که مشخص است در دمای مشخص، کمترین مقدار نسبت $T\Delta S/\Delta H$ مربوط به محلول پلی اکریل آمید سولفونه بدون حضور کروم است. علت این موضوع کمتر بودن تغییرات آنتروپی و بیشتر بودن تغییرات آنتالپی جذب محلول پلی اکریل آمید سولفونه بدون کروم است. در محلول پلی اکریل آمید سولفونه بی نظمی زنجیره های پلیمری بیشتر از سامانه های حاوی عامل شبکه ای کننده کروم است. با شبکه ای شدن سامانه های پلیمری، زمان استراحت (Relaxation) آن ها افزایش یافته و با توجه به این که زمان استراحت، تابع میزان اتصالات عرضی و گره خوردنگی ها است، هر چه مقدار زمان استراحت بیشتر باشد بی نظمی زنجیره های پلیمری در سامانه کمتر می شود. بنابراین در سامانه های شبکه ای شده با تشکیل پیوند بین زنجیره های پلیمری، تحرک زنجیره ها و بی نظمی کاهش می یابد. مثبت بودن مقادیر $T\Delta S$ برای تمامی سامانه ها نشان می دهد که در فرایند جذب با خارج شدن پلیمر از فاز محلول و جذب بر روی سطح جامد بی نظمی افزایش می یابد. با این وجود در دمای مشخص، میزان افزایش آنتروپی و بی نظمی برای سامانه های شبکه ای شده بیشتر از مقدار مربوطه برای محلول پلی اکریل آمید سولفونه است. علت دیگر کمتر بودن نسبت $T\Delta S/\Delta H$ محلول پلی اکریل آمید سولفونه

($[w]=55/5 \text{ mol/L}$) واحد استفاده شده برای غلظت ها)، مقدار ثابت تعادلی (K) بی بعد از معادله زیر محاسبه می شود:

$$K = K_{eq} \times [w] \quad (9)$$

در پژوهش حاضر، $[w]=1000 \text{ g/L}$ در نظر گرفته شد و با داشتن مقادیر ثابت تعادلی (K) و رسم منحنی تغییرات $\ln K$ بر حسب $1/T$ (شکل ۵)، مقادیر شاخص های ترمودینامیکی ΔG ، ΔH و ΔS محاسبه شد.

به طور کلی در مبحث جذب پلیمرها از درون محلول بر روی سطوح مختلف می توان با بررسی ΔH ، فیزیکی یا شیمیایی بودن پدیده جذب را مشخص کرد. اگر مقدار $\Delta H < -25 \text{ KJ/mol}$ باشد، پدیده جذب از نوع فیزیکی و اگر $\Delta H < -40 \text{ KJ/mol}$ باشد، جذب از نوع شیمیایی است [۴ و ۸]. با داشتن مقادیر $T\Delta S$ و ΔH ، می توان اثرات آنتالپی و آنتروپی را با هم مقایسه و مشخص کرد که واکنش جذب بیشتر تحت تأثیر کدام یک از این دو است. اگر $|\Delta H| > |\Delta S|T$ باشد نشان دهنده این است که جذب پلیمر بر روی سطح جامد، بیشتر تحت تأثیر افزایش بی نظمی است تا انرژی واکنش.

نتایج ارایه شده در جدول ۴ نشان می دهد که مقادیر انرژی آزاد گیس برای همه نمونه ها منفی است که بیانگر خود به خودی بودن فرایند جذب این سامانه ها بر روی ذرات شیشه است. همان طور که دیده می شود برای تمام نمونه ها، افزایش دما سبب کاهش بیشتر (منفی تر شدن) انرژی آزاد گیس می شود. اثر مثبت دما بر خود به خودی بودن فرایند جذب، به دلیل تأثیر افزایش آنتروپی بر انرژی آزاد گیس است. به عبارت دیگر با اینکه مقادیر منفی آنتالپی بر گرمایش بودن فرایند دلالت دارد اما افزایش دما سبب افزایش تأثیر آنتروپی در انرژی آزاد گیس و افزایش خود به خودی بودن واکنش می شود. از مقادیر به دست آمده برای نسبت $T\Delta S/\Delta H$ مشخص است که برای همه نمونه ها با افزایش دما این نسبت افزایش یافته است که نشان می دهد در دمای های بالاتر اثرات آنتروپی بیش از اثرات آنتالپی، فرآیند جذب و انرژی آزاد گیس را تحت تأثیر

جدول ۴- مولفه های ترمودینامیکی جذب سامانه های کلوییدی بر روی دانه های شیشه

SPA-Cr ³⁺ (CDG)	T (K)	K	ΔH	TAS	ΔG	TAS/ ΔH
-۵۰۰	۲۶۳	۶/۰۰	-۴۸۸۳/۵۶	۵۴۵/۶۵	-۵۴۲۹/۲۱	-۰/۱۱
	۲۴۳	۶/۸۰	-۴۸۸۳/۵۶	۵۱۵/۵۹	-۵۳۹۹/۱۵	-۰/۱۱
	۲۲۳	۷/۲۰	-۴۸۸۳/۵۶	۴۸۵/۵۲	-۵۳۶۹/۰۸	-۰/۱۰
	۲۰۳	۸/۴۰	-۴۸۸۳/۵۶	۴۵۵/۴۶	-۵۳۳۹/۰۲	-۰/۰۹
۱۲/۵-۵۰۰	۲۶۳	۵/۰۷	-۴۰۱۵/۰۸	۸۷۰/۶۹	-۴۸۸۵/۷۷	-۰/۲۲
	۲۴۳	۵/۴۶	-۴۰۱۵/۰۸	۸۲۲/۷۲	-۴۸۳۷/۸۰	-۰/۲۰
	۲۲۳	۵/۸۵	-۴۰۱۵/۰۸	۷۷۴/۷۴	۴۷۸۹/۸۲	-۰/۱۹
	۲۰۳	۶/۶۳	-۴۰۱۵/۰۸	۷۲۶/۷۷	-۴۷۴۱/۸۵	-۰/۱۸
۲۵-۵۰۰	۲۶۳	۴/۱۹	-۳۶۵۸/۹۱	۶۹۱/۱۲	-۴۳۵۰/۰۳	-۰/۱۹
	۲۴۳	۴/۵۷	-۳۶۵۸/۹۱	۶۵۳/۰۴	-۴۳۱۱/۹۵	-۰/۱۸
	۲۲۳	۴/۹۵	-۳۶۵۸/۹۱	۶۱۴/۹۶	-۴۲۷۳/۸۷	-۰/۱۷
	۲۰۳	۵/۳۲	-۳۶۵۸/۹۱	۵۷۶/۸۸	-۴۲۲۵/۷۹	-۰/۱۶
۵۰-۵۰۰	۲۶۳	۲/۲۷	-۳۰۰۳/۶۸	۵۶۰/۷۴	-۳۵۶۴/۴۲	-۰/۱۹
	۲۴۳	۳/۴۵	-۳۰۰۳/۶۸	۵۲۹/۸۵	-۳۵۲۳/۵۳	-۰/۱۸
	۲۲۳	۳/۶۴	-۳۰۰۳/۶۸	۴۹۸/۹۵	-۳۵۰۲/۶۳	-۰/۱۷
	۲۰۳	۴/۰۰	-۳۰۰۳/۶۸	۴۶۸/۰۶	-۳۴۷۱/۷۴	-۰/۱۶

سیال غیرقابل امتزاج تعریف می شود [۲۰]. به منظور درک بهتر سازوکار تأثیرگذاری سامانه های پلیمری بر تراوایی آب، آزمون های زاویه تماس انجام شد.

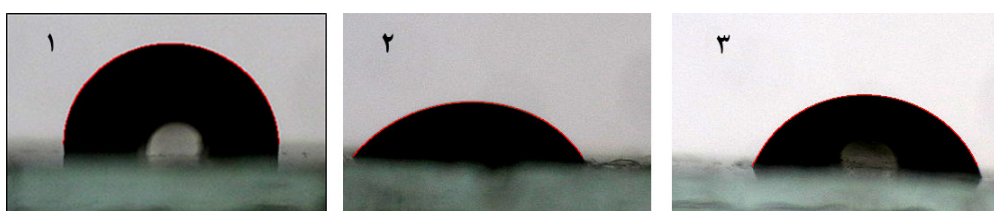
شکل ۶ تصاویر مربوط به آزمون های زاویه تماس آب - شیشه را نشان می دهد. مقادیر زوایای تماس در جدول ۵ آورده شده است. همان طور که دیده می شود محلول پلی اکریل آمید سولفونه بیشتر از سامانه شبکه ای شده سطح شیشه را آب دوست می کند که با رفتار جذب سامانه های پلیمری بر روی شیشه تطابق دارد. جذب سامانه های پلی اکریل آمید سولفونه، پلیمری آب- با توجه به اینکه پلی اکریل آمید سولفونه، پلیمری آب- دوست است، هر چه جذب آن بر روی سطح بیشتر باشد میزان آب دوست شدن سطح نیز بیشتر می شود.

با آب دوست تر شدن سطح، تمایل نفت به فاصله گرفتن از سطح و جاری شدن در مراکز تخلخل ها افزایش می یابد. همچنین نفت از تخلخل های کوچک تر

نسبت به سامانه های شبکه ای شده این است که مقدار گرمایی جذب برای سامانه های شبکه ای شده کمتر از محلول پلی اکریل آمید سولفونه است. به عبارت دیگر بر اساس نتایج به دست آمده می توان گفت که در سامانه های شبکه ای شده جدا شدن زنجیره های پلیمری از سامانه و جذب آن ها بر روی سطح شیشه، نیازمند انرژی و گرمایی بیشتری بوده و گرمایی فرایند جذب سامانه های شبکه ای شده بر روی شیشه، کمتر از مقدار مربوط به محلول پلی اکریل آمید سولفونه است.

آزمون های زاویه تماس

اندازه گیری تغییرات زاویه تماس سطح، یکی از شاخص های بررسی تغییر ترشوندگی سطح سنگ مخازن نفتی است. ترشوندگی به صورت تمایل سیال به چسبیدن یا گسترش بر روی سطح جامد در حضور



شکل ۶- زاویه تماس آب در هوا با سطح شیشه ۱- قبل از جذب ۲- پس از جذب محلول پلیمری پلی اکریل آمید سولفونه، ۳- پس از جذب سامانه شبکه ای شده پلی اکریل آمید سولفونه-کروم (۵۰/۵۰۰ ppm)

جدول ۵ - زاویه تماس آب با سطح شیشه قبل و بعد از جذب سامانه‌های پلیمری

سامانه پلیمری	زاویه تماس (°)
آب شور- بدون پلیمر	۱۳۵
محلول پلی‌اکریل آمید سولفونه	۱۰۸
سامانه شبکه‌ای شده پلی‌اکریل آمید سولفونه- کروم (۵۰/ ۵۰۰ ppm)	۱۱۷

ترمودینامیک جذب نشان داد که جذب این سامانه‌ها بر روی سطح شیشه، فرایندی خودبه خودی و گرمایی بوده و علی‌رغم افزایش جذب سامانه‌ها با افزایش دما، فرایند جذب بیشتر تحت تأثیر تغییرات آنتروپی است تا تغییرات آنتالپی. نتایج آزمون‌های زاویه تماس نیز نشان داد که سامانه‌های شبکه‌ای شده کم‌تر از محلول پلی‌اکریل آمید سولفونه باعث تغییر آب‌دوسنی سطح می‌شوند. با توجه به بررسی‌های انجام شده در پژوهش حاضر، سامانه‌های کلوفیدی (که جذب کمتری نسبت به محلول پلی‌اکریل آمید سولفونه نشان دادند) قابلیت بسیار زیادی به منظور استفاده در بهبود بازیافت نفت دارند. با این وجود فرمول‌بندی و ساختار نهایی آن‌ها باید متناسب با شرایط مخزن نفتی مورد نظر تنظیم شود.

به سمت تخلخل‌های بزرگ‌تر حرکت می‌کند. لذا آب‌دوسنی تر شدن سطح تخلخل‌ها سبب جریان پذیری بهتر و راحت‌تر نفت در محیط متخلخل شده و میزان بازیافت نفت را افزایش می‌دهد.

نتیجه‌گیری

در مطالعه آزمایشگاهی حاضر، رفتار جذب سامانه‌های پلیمری رقیق بر پایه پلی‌اکریل آمید سولفونه بر روی سطح شیشه مطالعه شد. مشخص شد که سامانه‌های پلیمری شبکه‌ای شده در مقایسه با محلول پلی‌اکریل آمید سولفونه، جذب کمتری بر روی سطح شیشه دارند. هم‌چنین مدل هم‌دمای جذب لانگمویر بهتر از مدل فرننلیش با داده‌های آزمایشگاهی جذب سامانه‌های رقیق تطابق داشت. نتایج به دست آمده از بررسی

مراجع

- 1- Omar A.E., January. Effect of Polymer Adsorption on Mobility Ratio. In Middle East Oil Technical Conference and Exhibition, Society of Petroleum Engineers, 1983.
- 2- Alquraishi A.A., Alsewailem F.D., Xanthan and Guar Polymer Solutions for Water Shut off in High Salinity Reservoirs, Carbohydrate Polymers, 88(3), 859-863, 2012.
- 3- Rashidi M., Sandvik S., Blokhus A.M., Skauge A., April Static and Dynamic Adsorption of Salt Tolerant Polymers. In IOR 2009-15th European Symposium on Improved Oil Recovery, 2009.
- 4- Sabhapondit A., Borthakur A., Haque I., Adsorption Behavior of Poly (N, N-Dimethylacrylamide-co-na 2-acrylamido-2-methylpropanesulfonate) on Sand Surface, Journal of Applied Polymer Science, 91(4), 2482-2490, 2004.
- 5- Al-Hashmi A.R., and Luckham P.F., Characterization of the Adsorption of High Molecular Weight non-ionic and Cationic Polyacrylamide on Glass from Aqueous Solutions Using Modified Atomic force Microscopy, Colloids and Surfaces A: Physicochemical and Engineering Aspects, 358(1), 142-148, 2010.
- 6- Chiappa L., Mennella A., Lockhart T.P. Burrafato G.,

- Polymer Adsorption at the Brine/Rock Interface: the Role of Electrostatic Interactions and Wettability, Journal of Petroleum Science and Engineering, 24(2), 113-122, 1999.
- 7- Alvand E., Aalaie J., Hemmati M., Sajjadian V.A., Colloidal Dispersion Gels Based on Sulfonated Polyacrylamide and Chromium Triacetate for Harsh-environment, Korean Journal of Chemical Engineering 33(6), 1954-1963, 2016.
- 8- Sodeifian G., Darougheri R., Aalaie J., Study of Adsorptive Behavior of Sulfonated Polyacrylamide Onto Carbonate Rock Particles to Enhance Oil Recovery, Korean Journal of Chemical Engineering, 32(12), 2484-2491, 2015.
- 9- Al-Hashmi A. R., Luckham P. F., Al-Maamari R. S., Zaitoun A., Al-Sharji H H., The Role of Hydration Degree of Cations and Anions on the Adsorption of High-molecular-weight Nonionic Polyacrylamide on Glass Surfaces, Colloids and Surfaces A: Physicochemical and Engineering Aspects, 415, 91-97, 2012.
- 10- Limousin G., Gaudet J. P., Charlet L., Szenknect S., Barthes V., Krimissa M., Sorption Isotherms: A Review on Physical bases, Modeling and Measurement. Applied Geochemistry, 22(2), 249-275, 2007.
- 11- Ahmadi M. A., & Shadizadeh S. R., Adsorption of Novel Nonionic Surfactant and Particles Mixture in Carbonates: Enhanced Oil Recovery Implication. Energy & Fuels, 26(8), 4655-4663, 2012.
- 12- Bera A., Kumar T., Ojha K., & Mandal A., Adsorption of Surfactants on Sand Surface in Enhanced Oil Recovery: Isotherms, Kinetics and Thermodynamic Studies. Applied Surface Science, 284, 87-99, 2013.
- 13- Chen, Y., Liu, S., and Wang, G., A Kinetic Investigation of Cationic Starch Adsorption and Flocculation in Kaolin Suspension, Chemical Engineering Journal, 133(1), 325-333, 2007.
- 14- Ramesh A., Lee D. J., & Wong J. W. C., Thermodynamic Parameters for Adsorption Equilibrium of Heavy Metals and Dyes From Wastewater with Low-Cost Adsorbents, Journal of Colloid and Interface Science, 291(2), 588-592, 2005.
- 15- He J., Hong S., Zhang L., Gan F., & Ho Y. S., Equilibrium and Thermodynamic Parameters of Adsorption of Methylene Blue onto Rectorite, Fresenius Environmental Bulletin, 19(11), 2651-2656, 2010.
- 16- Isa M. T., Abdulkarim A., Muhammad J. A., Ameh A. O., & Abdulsalam S., Kinetic and Thermodynamics Studies of Chromium Ion Adsorption Using Chitosan from Mussel Shell, Chemical and Process Engineering Research, 21, 43-51, 2014.
- 17- Li C. L., Wang S., Ji, F., Zhang J. J., & Wang L. C., Thermodynamics of Cu^{2+} Adsorption on SoilHumin. International Journal of Environmental Research, 9(1), 43-52, 2015.
- 18- Sid Kalal H., Pakizevand N., Hoveidi H., Taghiof M., Tavangari S., Ahmad Panahi H., Adsorption of Strontium (II) on New Ion-imprinted Solid-phase Support: Determination, Isotherms, Thermodynamic and Kinetic Studies, Caspian Journal of Environmental Sciences, 11(1), 53-63, 2013.
- 19- Milonjic S.K., A consideration of the Correct Calculation of Thermodynamic Parameters of Adsorption. Journal of the Serbian Chemical Society, 72 (12), 1363–1367, 2007.
- 20- Craig F. F., The Reservoir Engineering Aspects of Water Flooding. 3, 45-47, New York: HL Doherty Memorial Fund of AIME, 1971.